## ASより線の電流容量

Current Carrying Capacity of AS Stranded Cable

田中昭\*
Akira Tanaka

星 野 弘 之\*\*
Hiroyuki Hoshino

岡 皓 一\*\*
Kôichi Oka

## 要旨

各種 ASより線について連続および瞬時電流通電試験を行ない、電流容量を決定した。 AS線は各素線ごとに鋼心が非磁性体のアルミで磁気的に絶縁されているため磁気損失が少なく、かつ機械的強度のほとんどを鋼心に依存しているため耐熱性が良い。このためその電流容量は連続値で同サイズのアルミより線とほぼ同等、瞬時値で同径の IACSR の約2倍となり、高張力送電線用電線や大容量送電線用架空地線として最適である。

#### 1. 緒 言

AS線 (アルミ被鋼線) が架空送配電線用導体として本格的に使用 されたのは中四幹線(1)が初めであるが、それから10年を経た現在で はその用途は長径間送電線にとどまらず架空地線・防食電線・耐熱 電線など広い範囲に及んでいる。 AS線はよく知られているように アルミの被覆厚さが自由に変えられるというほかの電線材料には見 られない大きな特長をもっており<sup>(2)</sup>,目的に応じてもっとも適した 厚さのものを使用することができる。この特長は地絡時に大きな誘 導電流が流れる超高圧大容量送電線用架空地線や,海峡・河川越え のような長径間のある送電線導体として使用する場合にもっとも生 かされる。すなわち、このような場合には引張強さが大きいことと 同時に導電率も良くじゅうぶんな電流容量をもつ必要があるが、こ れはAS線によって初めて満足できる種類の要求である。これまで 多く使われていた鋼心に AS線を用いた ACSR/ASのほかに、今後 このようなアルミ厚さの大きいAS線だけをより合わせた電線が使 われる機会が増すものと考えられる。したがってこれが送電線導体 として使われる場合の連続電流容量や,架空地線として使われる場 合の瞬時電流容量について各種試験を行なったうえでその推奨値を とりまとめたので報告する。

#### 2. 連続電流通電試験

ASより線の連続電流通電試験は何回かにわたって実施されたが それに使用した試験回路の略図を示すと図1のとおりである。試料 電線の長さは約5mで、両端に軽く張力を加えてたるみが出るのを 防いである。試料の無通電時の直流抵抗はケルビンダブルブリッジ で測定された。なお交流 50 Hz の電流を通電したときの温度は熱電 対で, 交流抵抗は交流電位差計によって測定された。そして無通電 時の直流抵抗に AS線の抵抗温度係数(アルミと同じく 0.004 とし た)をかけて求めた通電時の直流抵抗との比から交直抵抗比を求め た。なお測定場所は室内,風速 0.2 m/s 以下の条件とした。気温は 15~30℃であった。試験試料としてはASより線、鋼心ASより線 と、比較のため架空地線に用いられている IACSR と配電線用 ACSR(いずれもアルミー層のもの) を 1 種類選んだ。これらはすべ て表面は製造したままの金属光沢を有しているが、そのほかに鋼心 ASより線は海峡横断に使用するため表面に黒色の防食剤を塗布し たものを試験した。その種類と性能は表1に示すとおりである。 図2は各種試料電線の50 Hz 交流流通電時の温度上昇を,また 図3,4は各試料の交直抵抗比と通電電流,温度上昇の関係を示した

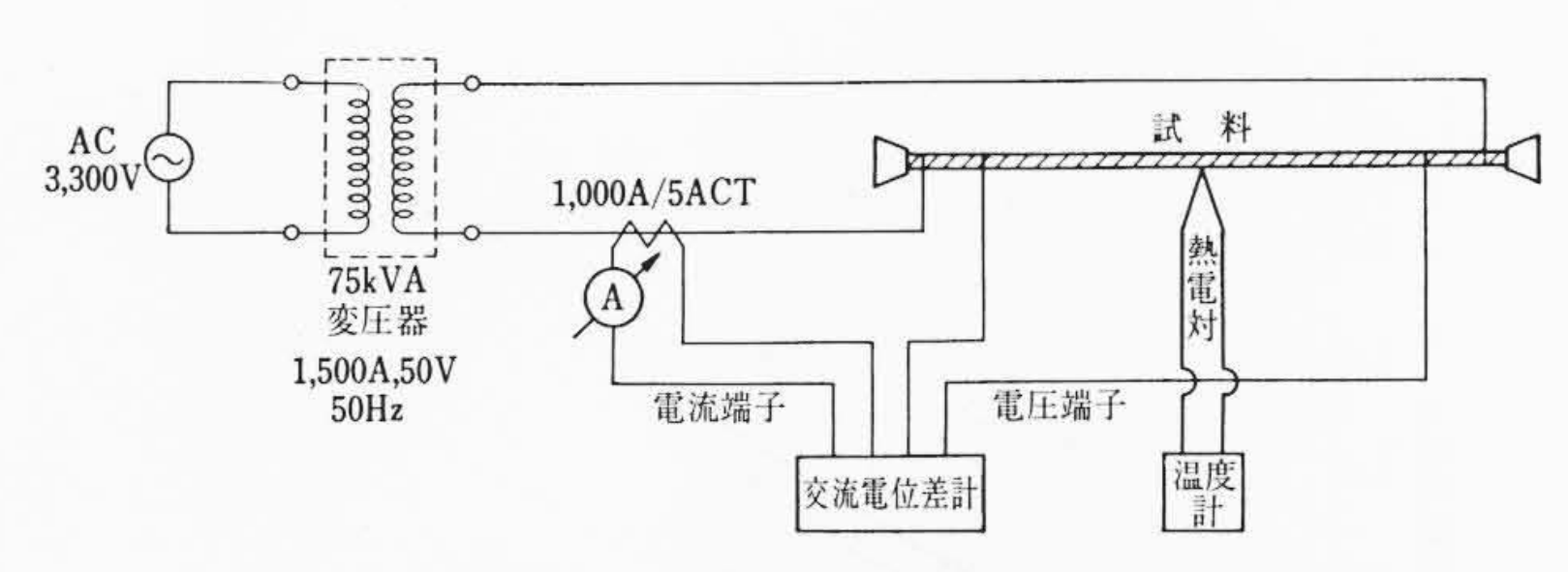


図1 連続通電試験回路

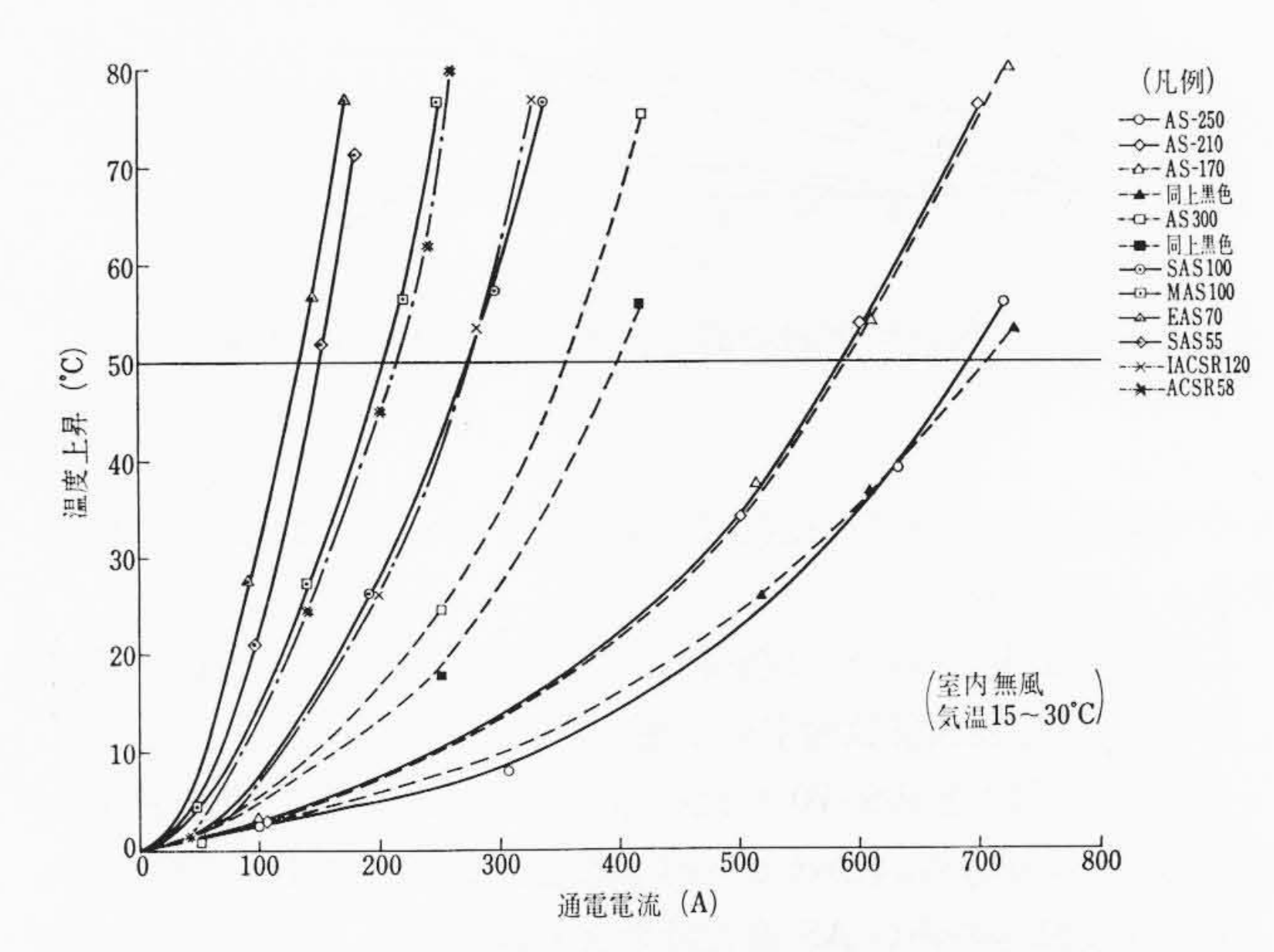


図2 各種試料電線の通電電流と温度上昇 (50 Hz)

表 1 試料電線の種類と性能 (連続電流通電試験)

44. Dil	品名・サイズ	構成	外径	直 流 (20℃)(s		備考
種 別	(mm²)	(mm)	(mm)	規定値	実測値	備考
長径間用	A S-250	91/3.2(0.3) EAS	35. 2	0.0934	0.080	
AS線(3)	A S-210	91/3.2(0.25) EAS	35. 2	0.104	0.098	
長径間用 鋼心AS	A S-170	54/3.2(0.35) EAS +37/3.2 st	35. 2	0.120	0.108	表面黒色およ び白色
調心A3 より線(3)	A S-300	30/3.2(0.3) EAS +7/3.2 st	22.4	0. 256	0. 220	表面黒色およ び白色
	SAS-100	19/3.2 SAS	16.0	0. 268	0.262	
AS	MAS-100	7/4.3 MAS	12.9	0. 574	0.526	
より線	EAS-70	7/3.5 EAS	10.5	1.13	1.006	
	SAS-55	7/3.2 SAS	9.6	0.727	0.720	
比較用	IACSR 120	12/3.5 IA <i>l</i> +7/3.5 st	17.5	0. 293	0.269	架空地線用
ACSR	ACSR 58	6/3.5 A <i>l</i> +1/3.5 st	10.5	0.497	0.479	配電線用

注:1. AS-250, AS-210, AS-170 および SAS 100 はアルミ部分の断面積 でサイズを表わし、AS 300, MAS 100, EAS 70 および SAS 55 は 全断面積でサイズを表わす。

<sup>\*</sup> 日立電線株式会社日高工場

<sup>\*\*</sup> 日立電線株式会社研究所 工学博士

<sup>\*\*\*</sup> 日立電線株式会社研究所

<sup>2.</sup> AS-250~AS-300 の EAS 素線のかっこ内の数字は標準アルミ厚さを 表わす。

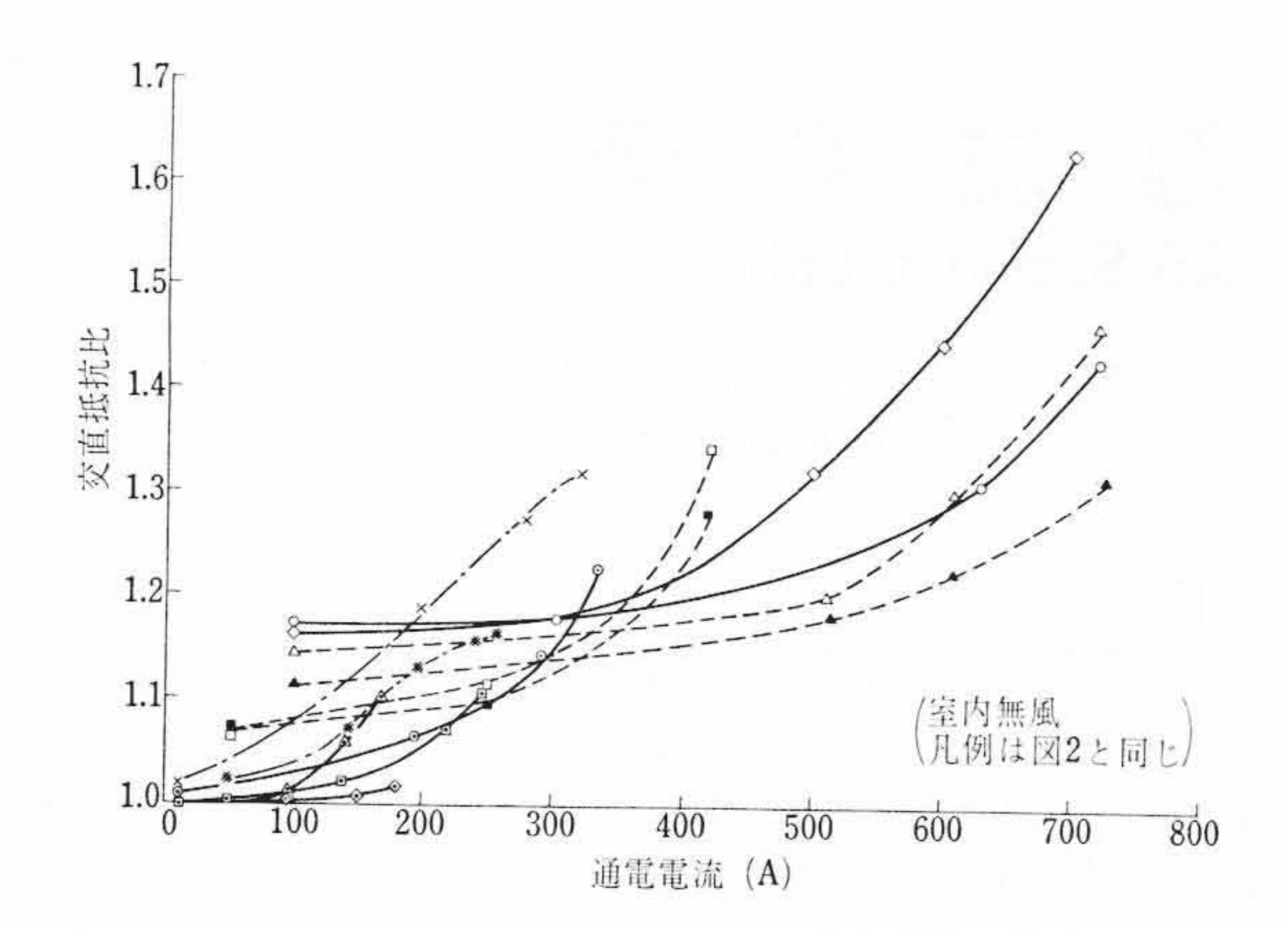


図3 各種試料電線の通電電流と交直抵抗比 (50 Hz)

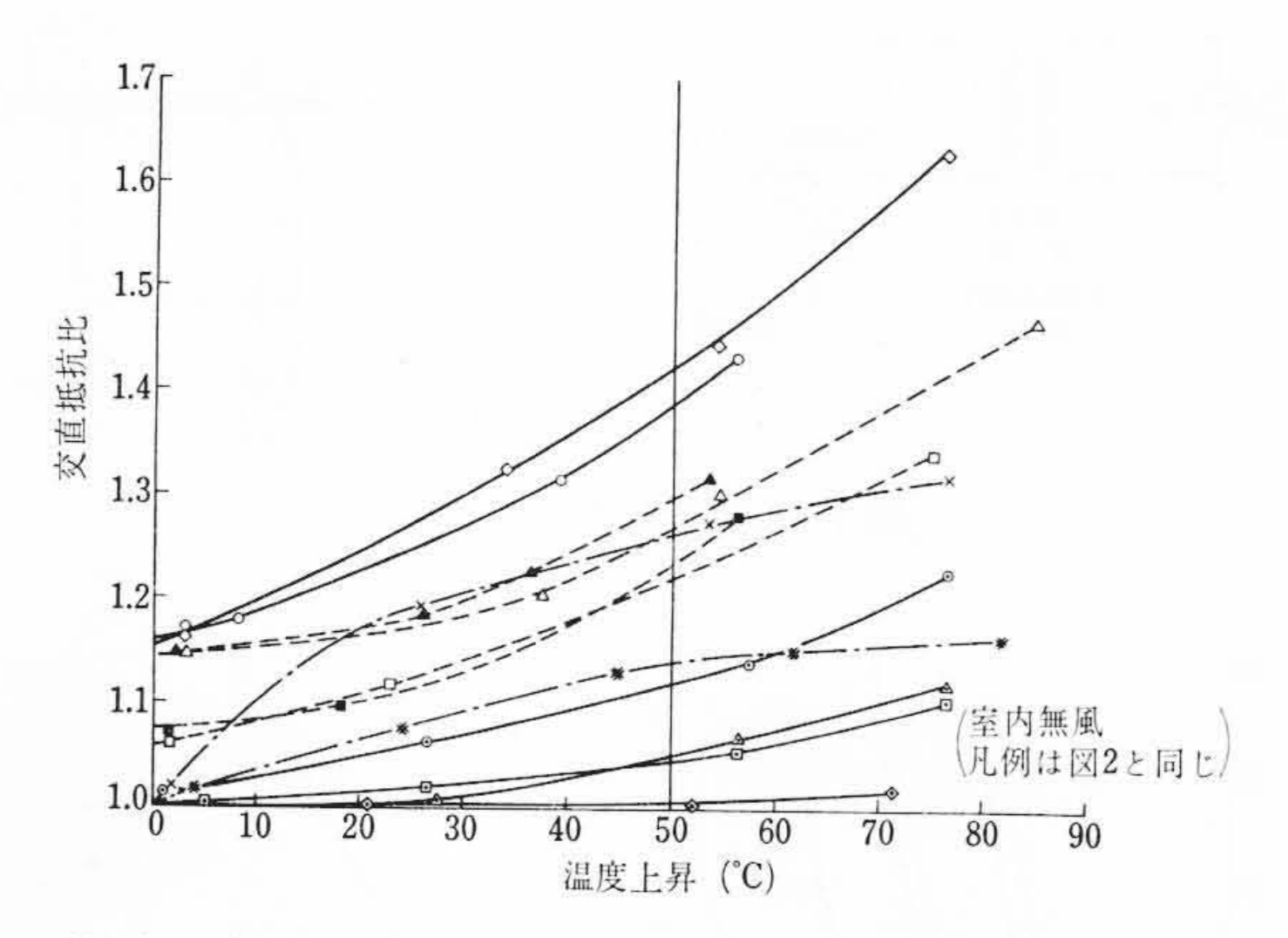


図4 各種試料電線の温度上昇と交直抵抗比 (50 Hz)

ものである。ここで直流抵抗には実測値を用いた。これらの図から 次のことがわかる。

- (1) 表面黒色の試料は金属光沢表面の試料に比べて温度上昇が約30%低く表面熱放射率の影響が非常に大きい。
- (2) AS 210 と AS 170 を比べると、外径は等しく直流抵抗は 10% 前者が低いにもかかわらず温度上昇は同等である。したがってアルミ厚さの薄い AS 線だけのより線よりも、アルミ厚さの厚い AS 線を 2 層鋼心の上により合わせたほうが電気的には有利である。
- (3) 厚肉 AS 線を 19 本より合わせた SAS  $100 \text{ mm}^2$  と IACSR  $120 \text{ mm}^2$  では,電気抵抗はほぼ等しく外径は後者のほうが大きいが温度上昇は同等である。
- (4) ASより線および鋼心 ASより線の通電電流に対する交直抵抗比の増加曲線は放物線状の増加を示しているが、IACSR および ACSR(いずれもアルミ単層)は電流値が大きくなると飽和する現象を示している。これは後者の場合、鋼心が磁気飽和しているためである。これに対して SAS 100 mm² や MAS 100 mm² は同じ電流に対して交直抵抗比がかなり小さい。これは鋼心が各素線に分散しており、それぞれが非磁性体であるアルミで絶縁されているので磁気損失が小さいためである。なお AS 250 と AS 170で交直抵抗比にほとんど差がないのは後者が鋼心の上に AS 線が2層より合わせされているためスパイラル効果が打ち消されるためと考えられる(4)。
- (5) ASより線および鋼心 ASより線の温度上昇に対する交直 抵抗比は太いものほど初期値・こう配が大きい。これに対して IACSR や ACSR は温度上昇が大きくなると飽和する傾向を示し ている。なお表面状態は特性に大きな影響を及ぼしていない。

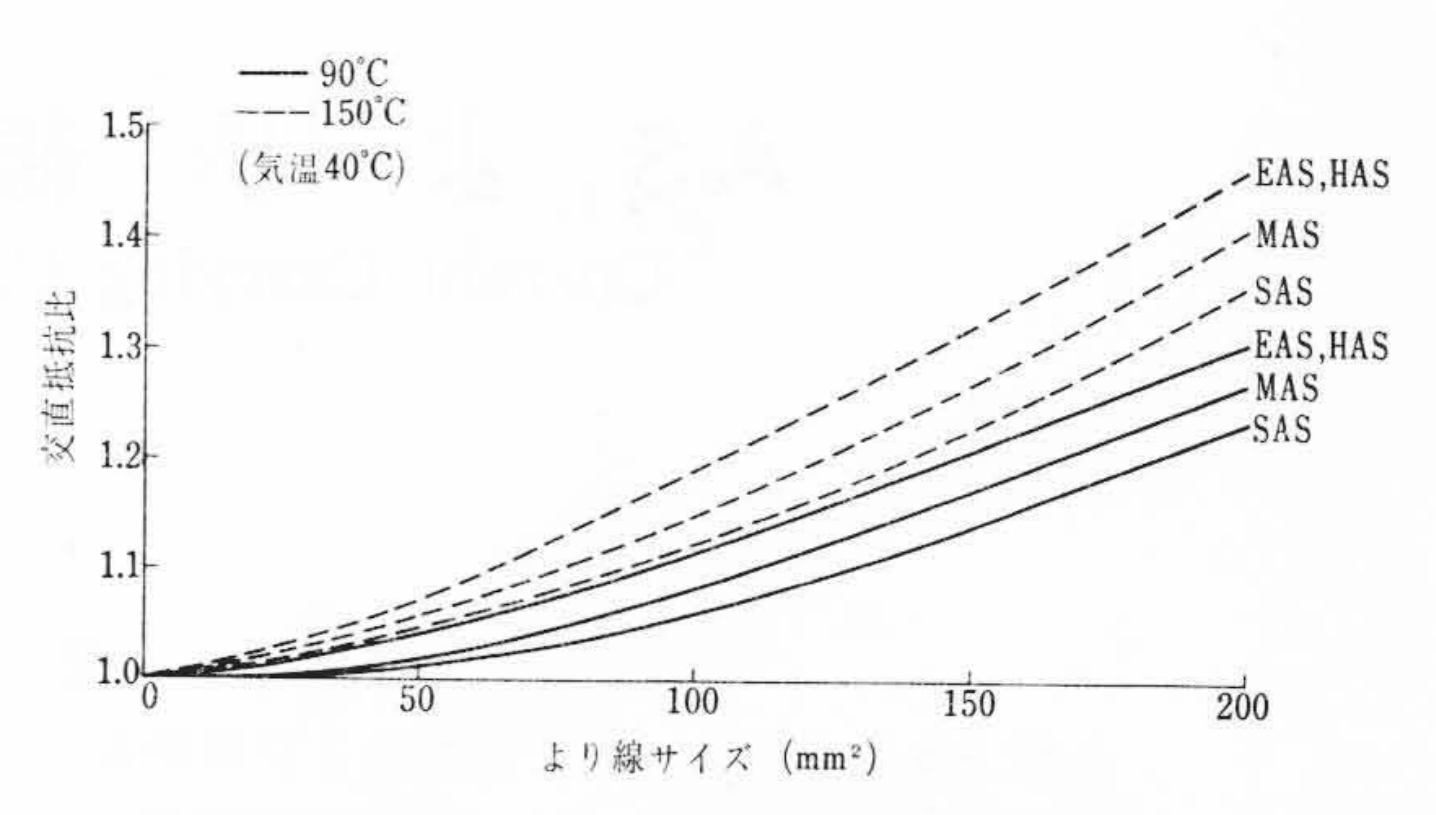


図5 各種 ASより線のサイズと交直抵抗比 (50 Hz)

## 3. 各種 AS より線の連続電流容量

前節に示した試験結果に基づいて各種 ASより線の連続通電時の 交直抵抗比を推定することができる。AS線の高温加熱時の機械的 強度の変化についてはすでに各種試験を行なっているが、その結果 によると連続通電時の最高許容温度は耐熱アルミ合金と同じく150 ℃が許容できる(5)。しかしこの場合たるみ設計温度は普通 ACSR の 45℃より高く65℃ないし105℃にとる必要があり<sup>(6)</sup>, ASより線 を使用する例が多い長径間では支持物の設計が問題となることがあ る。このためここでは150℃ のほかに普通 ACSR と同じ90℃ の値 も連続電流容量設定時の条件として採用することにした。いま図4 に試験時の気温(試料によって異なるが15~30℃の範囲にある)を 加えて電線温度が90℃ および150℃ の場合の50 Hz での交直抵抗 比を推定すると図5のようになる。なお60 Hz の場合の交直抵抗比 は中四幹線用試作電線での試験結果によると(3), 交流抵抗増加率で 50 Hz の 1.2 倍 (=60/50) となっているので、図 5 に基づいて簡単 に推定することができる。これより電気協同研究会の方法のによっ て各種ASより線の連続電流容量を求めると表2のようになる。た だし計算条件は次のとおりである。

気 温 40℃

ふく射率 0.9 (表面黒色)

 $0.5 \,\mathrm{m/s}$ 

日 射 0.1 W/cm<sup>2</sup>

計 算 式

$$I = \sqrt{\frac{\left\{h_w + \left(h_r - \frac{W_S}{\pi \theta}\right)\eta\right\}\pi d\theta}{R_{dc}\beta}} \dots (1)$$

ただし, I: 連続電流容量 (A)

d: 電 線 径 (cm)

θ: 温 度 上 昇 (℃)

h<sub>r</sub>: ふく射による熱放散係数 (W/℃·cm²)

$$h_r = 0.000576 \frac{1}{\theta} \left( \left( \frac{273 + T + \theta}{100} \right)^4 - \left( \frac{273 + T}{100} \right)^4 \right)$$

T: 気 温 (℃)

hw: 対流による熱放散係数 (W/℃·cm²)

 $h_w = \frac{0.00572\sqrt{V/d}}{(273 + T + \theta/2)^{0.123}}$ 

V: 風 速 (m/s)

 $W_s$ : 日 射 量  $(W/cm^2)$ 

η: ふ く 射 率

 $R_{dc}$ : 使用温度での直流抵抗  $(\Omega/cm)$ 

β: 交直抵抗比

これらの表をみるとわかるように AS より線の連続電流容量は同サイズの硬銅より線の  $60\sim80\%$ , 硬アルミより線の  $80\sim100\%$  となっている。

#### 4. 瞬時電流通電試験

ASより線の瞬時電流通電試験は, 超高圧大容量送電線の架空地線として 使用されている SAS 100 mm<sup>2</sup> と, 比較 用として従来使用されていた IACSR 120 mm² について行なった。試料の性 能は表3に、試験回路は図6に示すと おりである。試料電線は各1mを直列 に接続し、瞬時電流を0.2, 0.5, 1.0 秒 通電してその時の電流値をオシログラ フで記録した。温度は熱電対を通して 自動的に記録されている。電流値は実 効値で最大30kA, 電線温度は最高 300℃が目標である。なお回路のイン ピーダンスが電線温度によって変わる ので電流値は短時間のうちに減衰する こと, 直流分が重畳することなどの理 由により第一波と第三波の実効値を記 録した。また電線温度は熱放散と鋼心 の存在のため表面と内層とでは,違い があるため両方について測定した。第

表2 各種 AS より線の連続電流容量

	サイ	ズ	mm²	38	45	55	70	90	100	100	110	125	150
種別	構外	成径	mm mm	7/2.6 7.8	7/2.9 8.7	7/3.2 9.6	7/3.5 10.5	7/4.0 12.0	7/4.3 12.9	19/2.6 13.0	7/4.5 13.5	19/2.9 14.5	19/3. 2 16. 0
	直流抵抗(	(20℃)	Ω/km	2.04	1.64	1.35	1.13	0.863	0.746	0.754	0.682	0.606	0.498
EAS,	電流容量 (90℃)	50Hz 60Hz	A A	105 105	120 120	135 135	150 150	175 175	190 190	190 190	200 195	215 210	240 235
HAS	電流容量 (150℃)	50Hz 60Hz	A A	155 155	180 175	200 195	225 220	260 255	285 280	285 280	300 290	320 310	360 350
MAS	直流抵抗(20℃)		Ω/km	1.56	1.26	1.03	0.863	0.661	0.574	0.578	0.522	0.465	0.382
	電流容量 (90℃)	50Hz 60Hz	A A	120 120	140 140	160 160	175 175	205 200	225 220	225 220	235 230	250 245	280 275
	電流容量 (150℃)	50Hz 60Hz	A A	180 180	210 205	240 235	260 255	305 300	335 325	335 325	350 340	375 365	420 410
	直流抵抗	(20°C)	Ω/km	1.34	1.08	0.886	0.740	0.567	0.493	0.496	0.448	0.399	0.327 (0.268)
SAS	電流容量 (90℃)	50Hz 60Hz	A A	130 130	150 150	170 170	190 190	225 220	245 240	245 240	255 250	1 - 0.574	305 (340) 300 (330)
	電流容量 (150℃)	50Hz 60Hz	A A	195 190	225 220	255 250	285 280	335 325	365 355	365 355	375 365		455 (510 440 (495

注:1. 各種ASの導電率と引張強さは右のとおり。 2. SASのかっこ内は導電率 40% 級のもの (表1のSAS100 mm² に対応)に対する値。 種別 導電率 引張強さ (kg/m²)
EAS 23 130
HAS 23 125
MAS 30 90
SAS 35 70

一波と第三波電流の平均値と試料の最高温度の関係を示したのが,図7である。なお図中の曲線は電流温度特性の計算値であるが,これは通電電流を一定とすれば熱放散を無視して次式から求めることができる<sup>(8)</sup>。

$$\theta = \frac{1}{\alpha} \left( e^{\frac{\alpha I^2 R_0}{C}} t - 1 \right) \dots (2)$$

ここで, *C*: 熱 容 量 (J/cm·℃) (IACSR は鋼心も含めた)

I: 電流実効値 (A)

R<sub>0</sub>: 通電前の抵抗 (Ω/cm)

α: 抵抗温度係数 (/℃)

θ: 温度上昇(℃)

t: 通 電 時 間 (s)

通電試験はそれぞれ数本の試料についてくり返し数十回にわたって行なわれたが、このうち各1本については試料内層温度が約300℃になるような電流を10回くり返して流し、その後より線とより戻し素線の性能の変化を調べた。その結果は表4に示すとおりである。

以上の試験結果より次のことがわかる。

- (1) 電流として第一波と第三波の平均値をとると電線温度の実 測値と計算値はほぼ一致する。
- (2) 表面温度と内層温度の差は最大50℃で後者のほうが高い。
- (3) 計算値をみると IACSR と SAS では後者のほうが外径が小さいため熱容量が小さく、したがって温度上昇が大きいが、実際には両者の間にほとんど差はない。これは IACSR はイ号アルミ層のみにほとんどの電流が流れるので鍋心の熱容量が 100% きいていないことと、鍋心の磁気損失による温度上昇があるのに対して、AS 線は各素線に電流が流れ、かつ連続電流の場合と同じく磁気損失が少ないためと考えられる。
- (4) 通電後の機械的性能は AS 線および鋼線はほとんど低下していないのに対してイ号アルミ合金線および IACSR は低下が大きい。これはイ号アルミ合金線はアルミ線と同等以下の耐熱性しかないのに対して $^{(6)}$ , AS 線の機械的性能はほとんどが耐熱性の良い鋼心に依存しているためである $^{(5)}$ 。

表3 瞬時電流試験試料の性能

品		名		SAS	IACSR
-1)-	1	ズ	mm <sup>2</sup>	100	120
構		成	mm	19/3.2 SAS	12/3.5IA1+7/3.5st
<b>*</b>		径	mm	16.0	17.5
-7.	抵抗(		Ω/km	0.268	0.293
	張 荷	重	kg	9,780	14, 180
熱	容	量	J/cm•℃	4, 262	5, 232

注:IACSR の鋼心には特強鋼線を使用した。

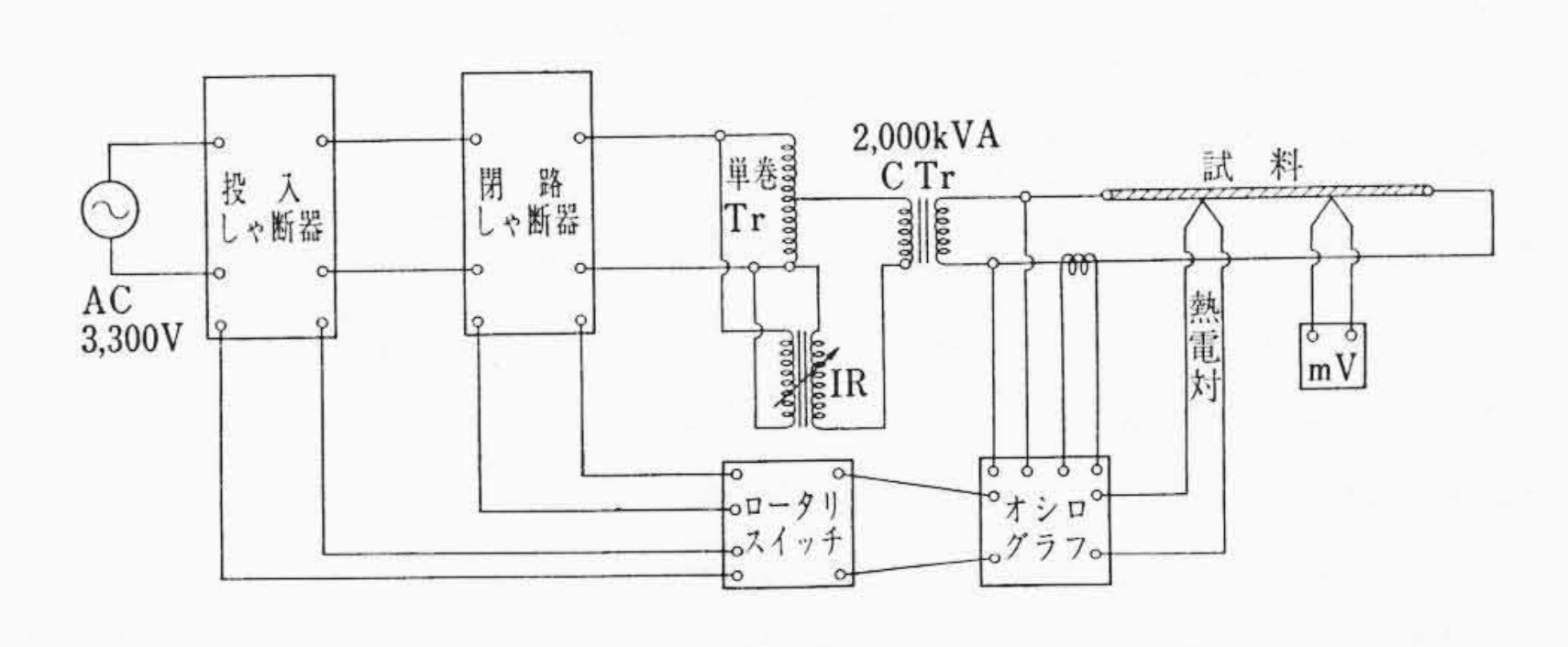


図 6 瞬時電流試験回路

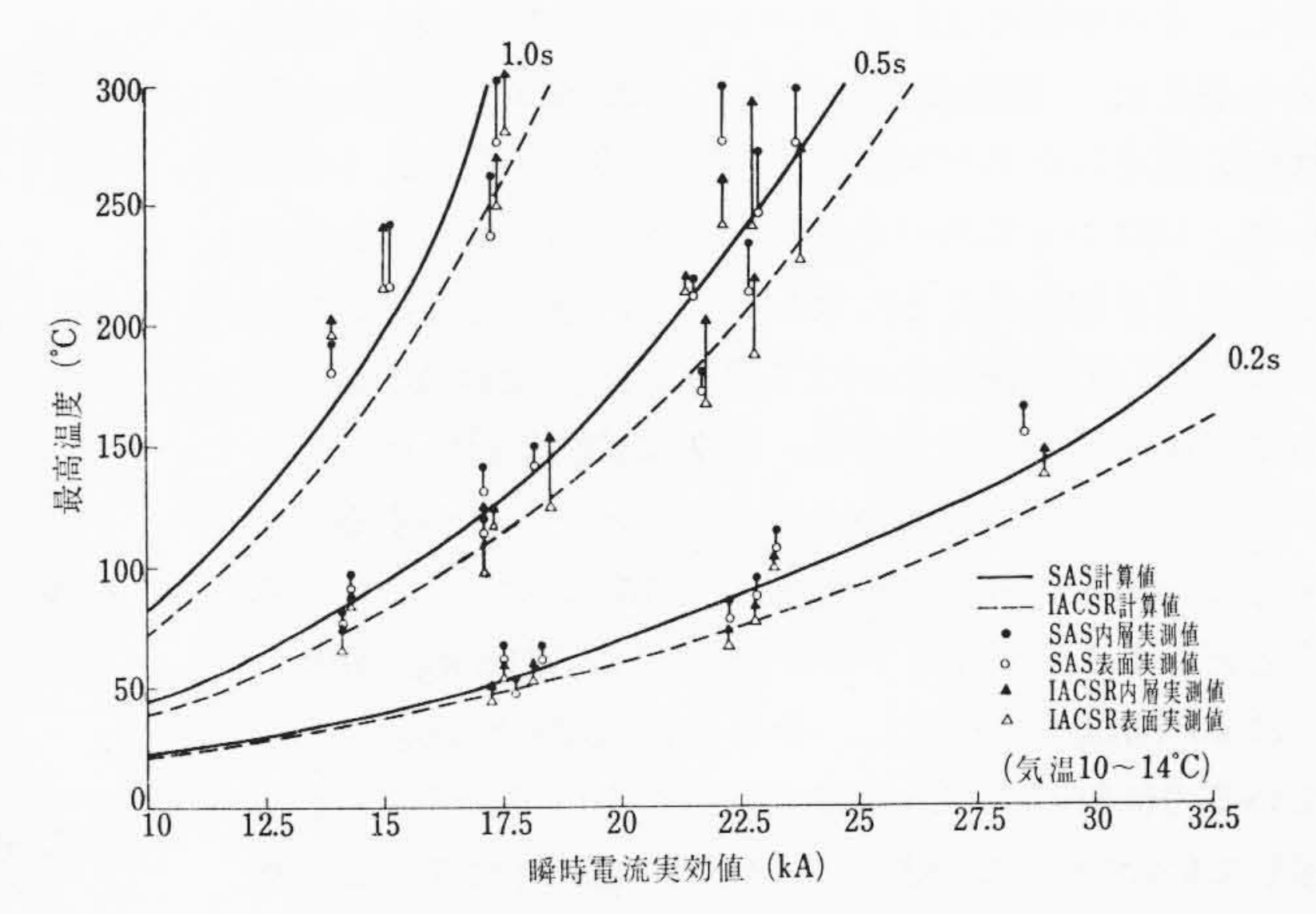
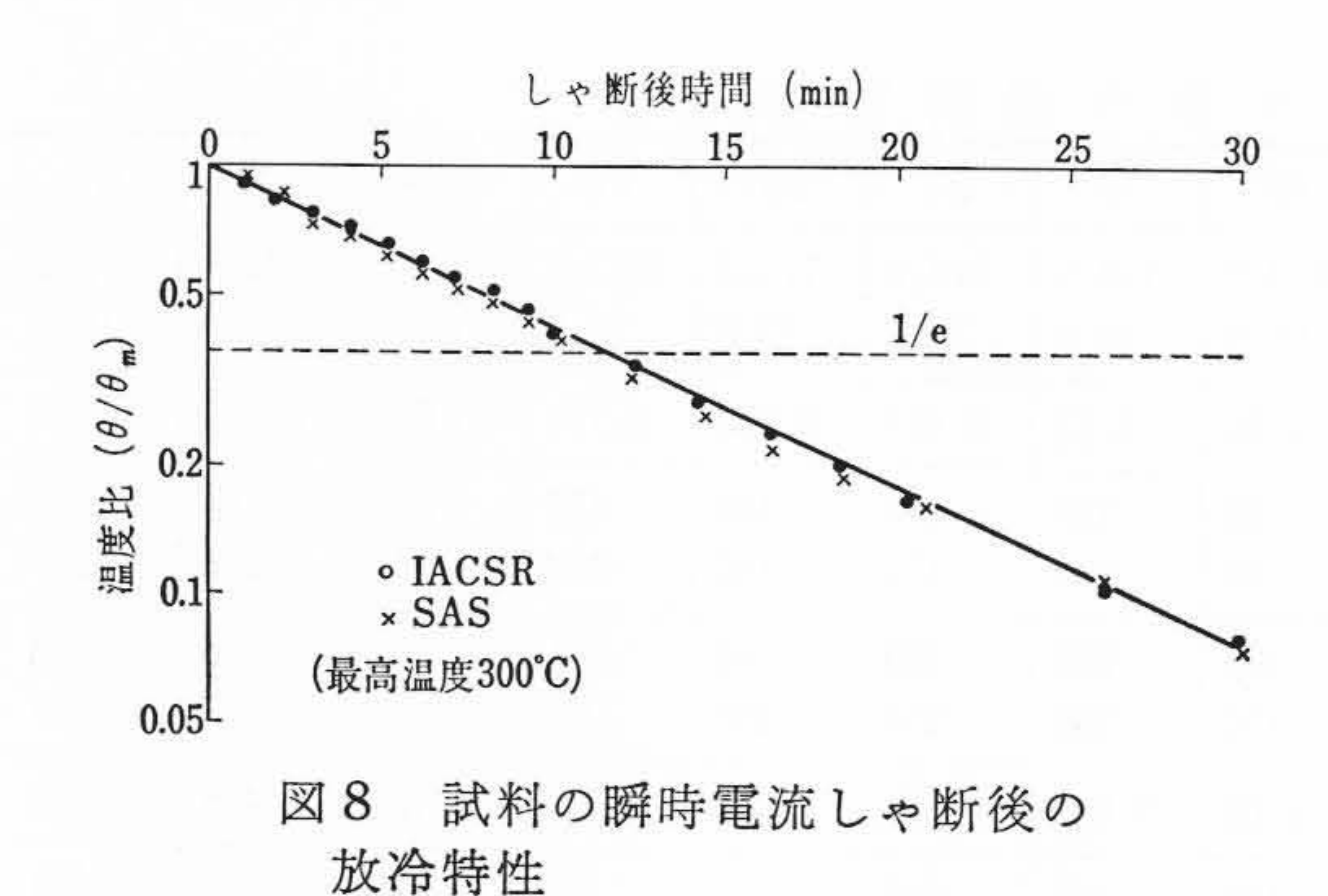


図7 瞬時電流実効値と試料最高温度



試料 ASより線の通電しゃ断後の温度時間特性は次式で表わされる(8)。

$$\frac{d\theta}{dt} = -\frac{K\theta}{C}$$

$$\therefore \quad \theta/\theta_m = e^{-\frac{Kt}{C}} \qquad (3)$$

ここで、 $\theta_m$ : 通電による温度上昇 ( $^{\circ}$ C)

θ: しゃ断後 t 秒後の温度上昇 (°C)

K: 熱放散係数 (W/cm·℃)

上式で

 $\theta/\theta_m=1/e$ 

となる。このtoは時定数とよばれ電線の温度上昇または 冷却の速度を表わす定数である。図8をみると試料の時 定数は約12分となっている。 電線の瞬時大電流による 性能変化を調べるには通電よりもそれと等価な温度・時 間の組合せによる加熱試験のほうがばらつきが少なく, しかも簡単な試験が可能である。いまより線に最高温度 300℃ の電流が流れた後の放冷特性を図8でみると200 ℃に下がるには約5分,100℃に下がるには約12分かか っている。したがってくり返し通電10回を加熱試験でお きかえるには300℃で1時間,200℃で2時間,合計3 時間加熱すれば等価と考えられる。この条件での加熱試 験を行ない試料の機械的性能の変化を調べた結果を表5 に示す。これをみると通電時のより線の引張荷重は鋼心 が合金端子から抜け出ているので比較にならないが、よ り戻し素線の性能は加熱時も通電時も同等であると見ら れる。このため、より線を前述の条件で加熱した後の振 動試験を行ない, 瞬時電流がくり返し通電された後の振 動疲労特性を調べた。

試験は長さ60 m の試料を規定の引張荷重の20%で架線し、その中間の1.5 m スパンを固定して電磁石で微振動を与えた。振動振幅は最大で±20 mm、周波数は50 Hzで、固定したスパンがちょうど一波長になるよう調整した。したがってスパンの両端の固定部分にもっとも大きな応力が加わることになる。この部分の応力はひずみ計で測定し弾性係数をかけて換算した。なお AS 線の応力はアルミ表面の値である。図9は試験装置を示したものである。断線した場合はカタカタという音がするのですぐにわかる。振動試験結果を図10に示す。これをみるとわかるようにイ号アルミ合金線は応力3kg/mm²台では106回以下で断線し、そのさい鋼線も断線を起こしているのに対して、AS 線はくり返し107回に至っても断線していない。このようにIACSR は瞬時大電流により軟化して振動疲労断線を起こしやすくなるが AS 線は軟

(I) より線 表 4 瞬時電流くり返し通電試験結果

1	品			名		単位	SAS	IACSR
サ		1	))	ズ		mm <sup>2</sup>	100	120
通		電	時	間		s	0.5	0.5
通	電電	1 流	第		波	A	23,000~26,800	23,000~26,800
実	効	値	第	Ξ	波	A	$18,900\sim 20,600$	18,900~20,600
試	料温	且度	表		面	°C	245~276	224~245
IP V	and m	L D.	内		層	℃	$270 \sim 303$	260~296
戾				温		$^{\circ}$	10~14	10~14
71		JH	通	電	前	kg	12,300	16,350
引荷		張	通	電	後	kg	12,000	5,080
1 <sup>11</sup> J		重	変	化	率	%	-2.5	-68.6

注:1. 通電は 10 回くり返した。

2. IACSR の通電後引張試験では鋼心が端子から抜けた。

#### (Ⅱ) より戻し素線

素	線	<b>郑</b> / 华	AS	外 層	AS	内 層	イ号アル	くく。	特強	鋼線
术	和天	単位	範 囲	平均	範 囲	平均	範 囲	平 均	範 囲	平均
	通電前	kg/ mm²	80.4 ~76.9	78.2	78.6 ~76.3	77.2	35. 4 ~34. 3	35.0	185 ~180	183
引張強さ	通電後	kg/ mm²	75.5 ~74.5	74.9	$73.8 \\ \sim 73.4$	73.6	12.6 ~12.1	12.4	182 ~181	181
	変化率	%		-4.2		-4.7		-64.6		-1.1
	通電前	%	6.0 ~4.2	4.8	5.6 ~4.2	4.8	6.2 ~4.8	5.5	5.6 ~4.6	5.3
伸 び	通電後	%	$5.6 \\ \sim 4.8$	5.4	$5.6 \\ \sim 4.0$	5.0	18.4 ~15.8	16.9	5.6 ~5.2	5.3
	変化率	%		12.5		4.2		207.0		0
	通電前	回	54 ~43	49	54 ~42	47	34 ~25	29	27 ~20	24
ねん回	通電後	回	53 ~47	50	54 ∼44	48	110 ~79	102	27 ~22	25
	変化率	%		2.0		2.1		252.0		4.2
	通電前	%	42.8 ~42.1	42.4	42. 2 ~41. 7	42.0	55.3 ~54.1	54.7		<del>                                     </del>
導電率	通電後	%	42.3 ~41.8	42.1	$^{42.6}_{\sim 41.5}$	42.0	58.4 ~57.9	58.0		
	変化率	%		-0.7		0		6.0	-11	

## (I) より線 表 5 等 価 加 熱 試 験 結 果

品			名	単位	SAS	IACSR
サ	1		ズ	mm²	100	120
加	熱	条	件		300℃: +200℃:	× 1 時間 × 2 時間
引	張	通通		前 kg 後 kg	12,300 11,720	16, 350 13, 580
荷	重	変	化	率 %	-4.7	-17.0

#### (Ⅱ) より戻し素線

345	<b>公</b> 台	274 LT-	AS	外 層	AS	内 層	イ号アル	√ミ合金	特強	鋼 線
素	線	単位	範囲	平 均	範 囲	平 均	範 囲	平 均	範 囲	平 均
	加熱前	kg/ mm²	80.4 ~76.9	78.2	78.6 ~76.3	77.2	35. 4 ~34. 3	35.0	185 ~180	183
引張強さ	加熱後	kg/ mm²	$77.2 \\ \sim 76.0$	76.8	77.9 ~76.0	76.9	11.8 ~10.9	11.2	183 ~180	181
D-	変化率	%		-1.8		-0.4		-67.9		-1.1
	加熱前	%	$^{6.0}_{\sim 4.2}$	4.8	5.6 ~4.2	4.8	6.2 ~4.8	5.5	5.6 ~4.6	5.3
伸び	加熱後	%	$^{5.8}_{\sim 4.2}$	5.0	6.0 ~4.4	5.2	24. 2 ~19. 4	21.7	5.4 ~4.8	5.1
	変化率	%		4.2		8.3		295.0		-3.8
	加熱前	回	54 ~43	49	54 ~42	47	34 ~25	29	27 ~20	24
ねん回	加熱後	回	52 ∼42	46	54 ~45	50	120 ~99	111	26 ~23	24
	変化率	%		-6.1		6.4		283.0		0
	加熱前	%	42.8 ~42.1	42.4	42.2 ~41.7	42.0	55.3 ~54.1	54.7	_	
導 電 率	加熱後	%	42.7 ~41.9	42.3	$^{42.7}_{\sim 42.1}$	42.4	62.3 ~61.9	62.1		
	変化率	%		-2.4	1000	1.0		13.5		

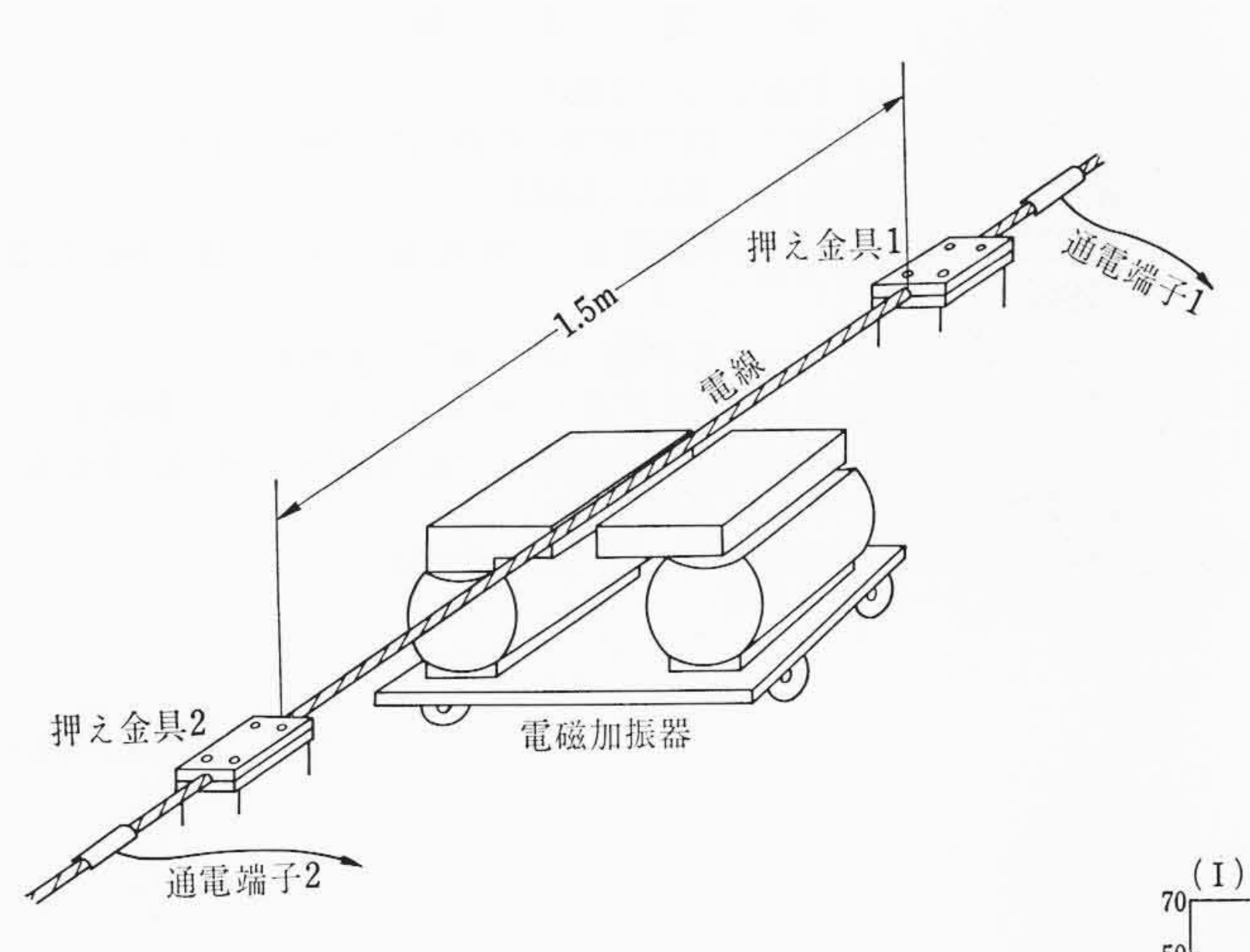


図9 振動試験装置

化しないので振動疲労特性の低下はみられず, すぐれて いる。

## 5. 瞬時電流容量

前節の試験結果によると AS 線は少なくとも 300℃ ま では性能劣化はほとんど認められない。これよりも高温 での試験としては AS線を鋼線およびアルミ線とともに 500℃ まで1時間加熱した例があるが(8), それによると 400℃まで軟化の傾向はみられない。しかしアルミは高 温になるともろくなるので,ここでは一応瞬時電流通電

時のAS線の最高温度を300℃とする。一方, 亜鉛メッキ鋼線は亜 鉛の融点が420℃であることから最高温度は400℃とし、イ号アル ミ合金線はその軟化特性に基づいて150℃と決められている(7)。こ れらの値を用いて架空地線に用いられる各種 AS線の瞬時電流容量 を求めると表6のとおりである。なお参考のため亜鉛メッキ鋼より 線および IACSR の値もあわせて記した。ただし通電電流は 0.2 秒, 0.5 秒の2種とし電流は減衰せず一定値とした。 この場合の瞬時電 流容量は(2)式を変形して次の形で与えられる。

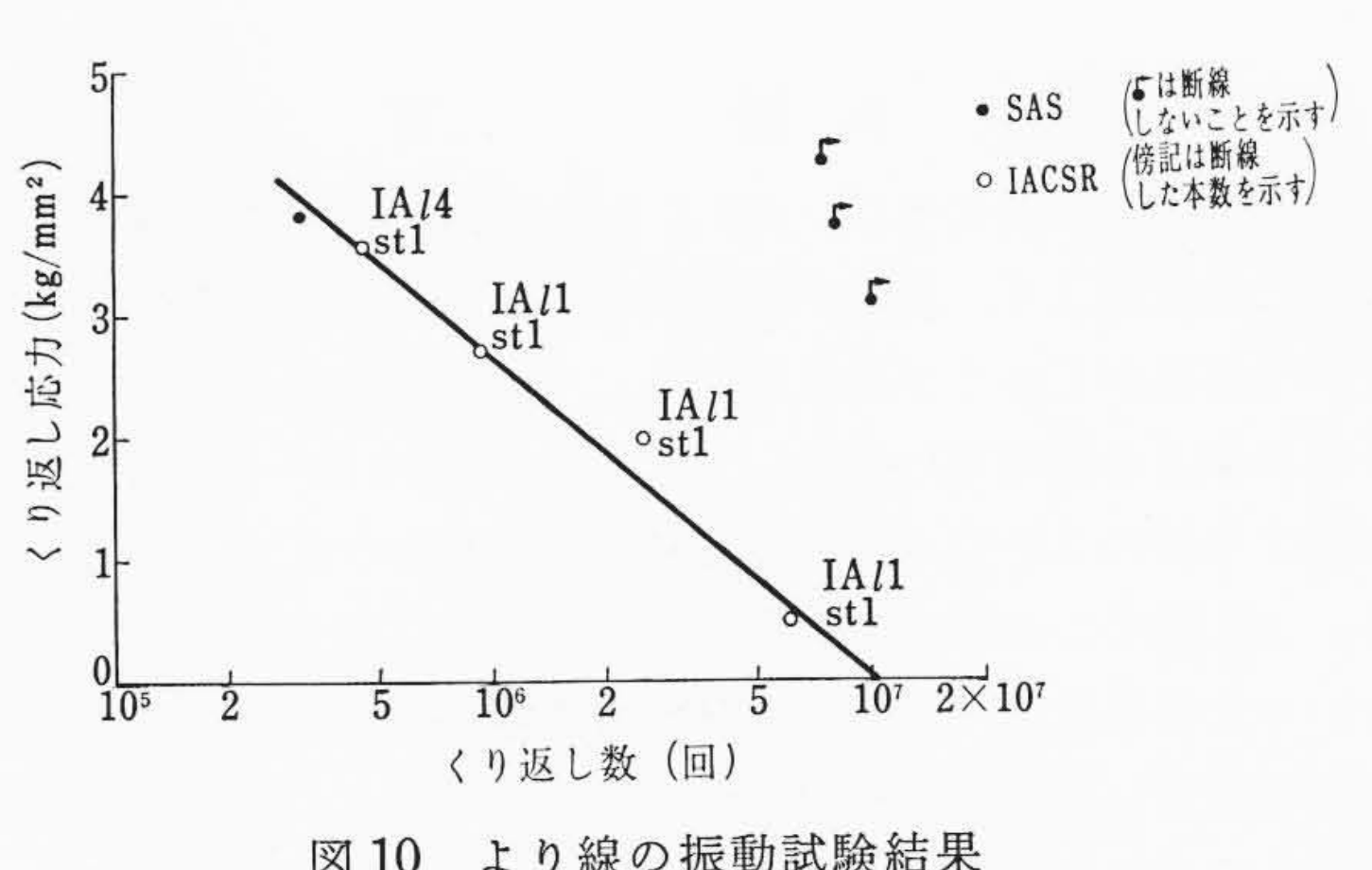


図10 より線の振動試験結果

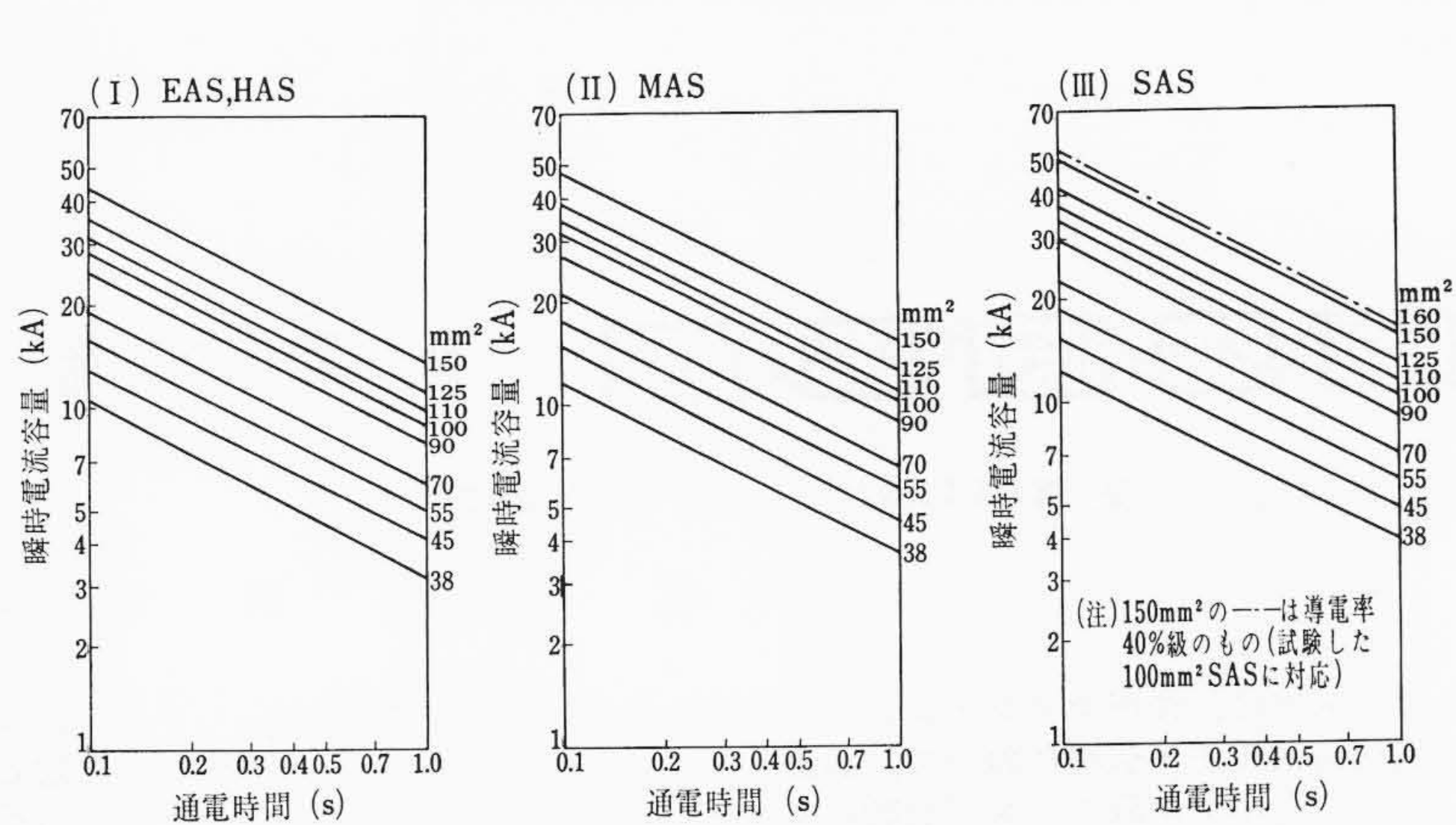


図 11 各種 ASより線の瞬時電流容量・時間特性

$$I = \sqrt{\frac{C \log_e (1 + \alpha \theta)}{\alpha R_0 t}} \dots (5)$$

もし通電時間が変わった場合には上式より電流容量は  $1/\sqrt{t}$  に 比例するから図11に示すように変化する。表6および図11をみる とわかるように各種 ASより線の瞬時電流容量は同サイズの鋼より 線の1.4~1.6倍, 同径のIACSRの約2倍と大きな値がとれる。

表6 架空地線用各種より線の瞬時電流容量

(I) ASより線(最高温度 300℃)	(I)	ASI	り線	(最高温度	300℃)
----------------------	-----	-----	----	-------	-------

	サイ	ズ	mm <sup>2</sup>	38	45	55	70	90	100	100	110	125	150
構外		成径	mm mm	7/2.6 7.8	7/2.9 8.7	7/3.2 9.6	7/3.5 10.5	7/4.0 12.0	7/4.3 12.9	19/2.6 13.0	7/4.5 13.5	19/2.9 14.5	19/3. 2 16. 0
	ESA, HAS	0.2s 0.5s	A A	7,350 4,650	9, 100 5, 800	11, 100 7, 050	13, 400 8, 450	17, 500 11, 100	20,000 12,700	20,000 12,700	22, 200 14, 000	25, 000 15, 800	30, 400 19, 200
瞬時電流容量	MAS	0.2s 0.5s	A A	8, 250 5, 200	10, 300 6, 450	12, 500 7, 900	14, 900 9, 400	19, 400 12, 300	22, 200 14, 100	22, 200 14, 100	24,600 15,600	27,700 17,500	33, 700 21, 300
量 (A)	SAS	0.2s 0.5s	A A	8, 650 5, 450	10,700 6,750	13, 100 8, 300	15, 700 9, 950	20, 500 13, 000	23, 500 14, 900	23, 500 14, 900	26,000 16,400	29, 300 18, 500	35, 600 (37, 300) 22, 500 (23, 600)

注:1. 150 mm² SASのかっこ内は導電率 40% 級のものに対する値(瞬時電流通電試験に使用した 100 mm² SASに対応する)。

(II) 鋼より線 (最高温度 400℃), IACSR (最高温度 150℃)

品			名		鋼	よ		b	線			IACSR	
+	1	ズ	mm²	38	45	55	70	90	100	110	79	97	120
構外		成 径	mm mm	7/2.6 7.8	7/2.9 8.7	7/3.2 9.6	7/3.5 10.5	7/4.0 12.0	7/4.3 12.9	7/4.5 13.5	12+7/2.9 14.5	12+7/3.2 16.0	12+7/3.5 17.5
瞬 時容	電流量	0.2s 0.5s	A A	5, 200 3, 300	6, 500 4, 100	7, 900 5, 000	9, 450 5, 950	12, 400 7, 850	14,300 9,000	15, 700 9, 900	14,000 8,900	17, 100 10, 800	19,700 12,500

注:1. IACSR の構成中には IA1 の本数を, 7は鋼線の本数を示す。

<sup>2.</sup> 気 温 40℃

<sup>2.</sup> 気 温 40℃

<sup>3.</sup> IACSR の計算は熱容量には鋼部分の断面積を無視し、次式を用いて行なった(7)。

## 6. 結 言

これまで述べたように、ASより線は鋼心の上に電気用アルミを被覆した構造より、前者が機械的強さを、後者が導電性をうけもつという特色がじゅうぶん生かされ、その電流容量は連続容量で同サイズの銅より線の60~80%、アルミより線の80~100%、瞬時容量で鋼より線の1.4~1.6倍、IACSRの約2倍の値をとることができる。AS線はこのほかにもすぐれた耐熱性、耐食性、高い引張強さといった特長をもっており、高張力送電線用電線や大容量送電線用架空地線として最適の電線ということができる。最後に本報告をとりまとめるにあたり種々ご協力いただいた日立電線株式会社日高工場の三宅・高木・大島各氏ほか関係者に深く感謝する。

## 参 考 文 献

- (1) 林: 電力 46, No. 5, 6 (1962)
- (2) 山路, 柿崎, 川西: 日立評論 別冊 43, 29 (1961)
- (3) 星野: 日立評論 44, 763 (1962)
- (4) 配電用アルミ電線専門委員会: 電気協同研究 23, No. 2, 21 (1967)
- (5) 川西, 山路ほか: 日立評論 45, 1676 (1963)
- (6) 特殊電線専門委員会報告書案: 電気協同研究会 (1969)
- (7) アルミ裸線電流容量専門委員会: 電気協同研究 4, No.6, 1 (1948)
- (8) 田中, 沼尻: 日立評論 46, 512 (1964)

# 画 郷 画 新 案 の 紹 介 画 / 1 画

登録実用新案第851251号(実公昭43-362号)

三 井 裕 光•小 毛 利 敦

## E 延 機 用 油 E E 下 装 置

この考案は、油圧シリンダによってロールの圧下量調整を行なう圧延機用油圧圧下装置において、油圧シリンダと油圧調整用パイロット弁の途中に中間シリンダを設けるとともにこの中間シリンダとパイロット弁を遊星歯車機構を用いた復元機構により動作するようにしたもので、ロールの圧下量を確実かつ正確に設定できる利点がある。

図において、1、2 は作業ロール、3、4 は補助ロール、5、6 は補強ロールチョック、7 は油圧バランス用ラム、8 は圧下用ラム、9 は圧下用シリンダ、10 はロールスタンドであり、作業ロール 1、2 を圧下する場合は操作盤 11 を操作して切換弁 12、13 を切り換え、油圧モータ 14、15 に圧油を通じ回転させる。油圧モータの回転はピニオン 17、18 により外側太陽歯車 19、20 および遊星歯車 21、22 を介して内側太陽歯車 23、24 に伝える。この場合、遊星歯車 21、22 な全しない。内側太陽歯車 23、24 が回転すると、これと一体のカム 44、45 も同時に回転し、弁棒 25、26 が移動して油圧源 41 からの圧油がパイロット弁 27、28 を通って中間シリンダ 31、32 に

入り,ピストン29,30を作動させる。このピストン29,30の動きに連動して圧下用シリンダ9に圧油が流入し、ラム8にてロールの圧下が行なわれる。

一方,前記中間シリンダ31,32のピストン29,30が動くと,その先端のラック46,47によりピニオン35,36を介して軸33,34 を回転し,さらに軸33,34に固定されている腕39,40 および軸37,38を介して遊星歯車21,22 が公転し,内側太陽歯車23,24と一体のカム44,45を回転させて弁棒25,26を中立位置に戻すように働く。

したがって、油圧モータ 14、15 の回転に追従して中間シリンダ 31、32 のピストン 29、30 が移動し、中間シリンダ 31、32 の上部隔室は圧下用シリンダ 9 と連通されているので、結局油圧モータ 14、15 の回転に応じたロールの圧下量が得られることになる。

なお,この実用新案は日立式油圧圧下装置 (HYROP) の基本特許第416174号 (特公昭 38-14478号) 「圧延機用圧下装置」を使用した考案である。 (山元)

